

تحضير و دراسة الخواص التركيبية لسبائك $Hg_{1-x}Cd_xTe$

رائدة حميدة عباس*

الاعتزاز عبد الغفار**

زياد طارق الدهان*

استلام البحث 16 ، تشرين الاول، 2008

قبول النشر 2 ، اب ، 2009

الخلاصة :

في هذا البحث تمت دراسة التأثير في زيادة نسبة (x) الداخلية بتحضير سبائك $Hg_{1-x}Cd_xTe$ في الخواص التركيبية (الفحص بالأشعة السينية ، الفحص بالامتصاص الذري) ضمن المدى $0 < X < 1$ والاهتمام بجميع ظروف تحضيرها المتباينة باستخدام الفرن المهازن .

الكلمات المفتاحية: Characterization of $Hg_{1-x}Cd_xTe$, , $Hg_{1-x}Cd_xTe$ microstructure, phase diagram, heterostructure

المقدمة :

أن المركب شبه الموصل $Hg_{1-x}Cd_xTe$ يصنف ضمن مركبات المجموعة الثانية - السادسية (II - VI) يقع العنصر الأول والثاني له ضمن المجموعة II والثالث ضمن المجموعة VI . وبرمز للمركب بالمخترق MCT، وبطريق عليه أيضاً مصطلح gallo- Chalcogenid الذي يمثل أي مركب يحتوي على عنصر أو أكثر من عناصر العمود السادس في الجدول الدوري مثل Te,S,Se [1]. معظم مركبات المجموعة الثانية - السادسية بلورية التركيب بشكل تركيب ركاز الزنك (Zinc blende) . ولهذا المركب استخدامات واسعة ومهمة في التطبيقات والتكنولوجيا الحديثة كافة ، أن أهم استخدام له هو في تصنيع كواشف الأشعة تحت الحمراء IR وأستخدام الشاملة له ضمن الأطوال الموجية المحصورة بين النافذتين الجويتين (μm) $(3-5)$ و $(8-14)$ μm من منطقة الطيف الكهرومغناطيسي [6-2] .

المواد وطرائق العمل:

تم تحضير سبائك $Hg_{1-x}Cd_xTe$ بنسبة تركيز (x) مختلفة من العناصر المفردة Hg,Cd,Te ذات النقاوة 99.99% وعملية تحضير السبائك مرت بعدة مراحل نوجزها على النحو الآتي :-

1- تمت تهيئه الأوزان الملائمة لتحضير نسبة التركيز (x) بالمدى $0 < X < 1$ فعند القيمة $X=0.1$ لم ينجح التحضير لصعوبة السيطرة على الضغط الشديد المتولد على جدران أنبوبة الكوارتز بسبب زيادة نسبة الزئبق . ونجاح تحضير النسب من $0.4 < X < 0.2$ أما النسب $X=0.4$ فقد فشلت بالتحضير إذ ظهرت كتل مبعثرة تدل على عدم حدوث الخلط بتجانس للعناصر الثلاثة . ومن

*جامعة النهرين- كلية الهندسة- قسم هندسة البلازما

**جامعة بغداد- كلية العلوم للبنات- قسم الفيزياء

الحبي العمودي يتم صهر العناصر الثلاثة لتكوين سبيكة MCT ، عندها تتم تهيئة الظروف الملائمة لصهر خليط MCT وذلك بضخ غاز ألا ركون Ar الخامل بضغط (7 bar) وباستخدام مجهز RF القدرة ذي الترددات الراديوية (10KV,10A) لاغراض التسخين تبدأ الزيادة التدريجية للفولتية عبر جهاز RF الى مقدار يعادل درجة الحرارة المطلوبة اذ بزيادة سرعة التسخين لم ينجح التحضير بسبب الانفجار السريع للكبولة لذلك فقد نجح التحضير بزيادة التدريجية للفولتية وبمعدل (50 mV/30 min) الى حين الوصول إلى درجة الحرارة (400 C) ، وعندما يبدأ تكون الطور السائل HgTe فيترك الخليط لمدة ساعتين بحالة مستقرة ليتزوج جيدا وزيادة زمن البقاء اكثر تسبب زيادة الطور السائل فيؤدي إلى تمدد وضغط اكثر على الأنبوة مسببا انفجارا سريعا .

اما عند تقليل زمن الانصهار فيؤدي إلى عدم اكمال عملية الصهر للعناصر الثلاثة . ثم نبدأ بعملية زيادة الفولتية ولكن بشكل بطى جدا بمعدل (20 mV/ 30 min) الى حين الوصول إلى درجة حرارة C 600 وعندما يبدأ تكون الطور Cd Te ولکي يتم امتراجه يجب ان يكون زمن البقاء الخليط مستقرامادة ساعتين ، بعد ذلك نستمر بالزيادة التدريجية الطبيعية الى ان تصل إلى درجة الانصهار الخليط حسب مخطط الطور Phase Diagram [7] لهذه المادة وعند ذلك تترك الكبسولة مستقرة لمدة (12 h) ليتم مزج الطوريين Cd Te ,Hg Te للحصول على طور MCT . لكن زيادة درجة الحرارة اکثر من نقطة الانصهار تؤدي إلى ظهور اطوار أخرى مثل طور Cd,Te,Hg ومن ثم نبدا بعملية الهبوط التدريجي للفولتية (عملية تبريد) وبمعدل الزيادة نفسه وصولا إلى درجة حرارة الغرفة (R.T) ، لكن بزيادة سرعة التبريد لم ينجح التحضير لزيادة الاجهادات الحرارية وتظهر التشققات اذ أن عملية التبريد لمنصهر MCT لاتكون مفاجئة لكي يعطي الزمن اللازم للتخلص من الاجهادات بذلك تأخذ الذرات وضعها الطبيعي في عملية الإنماء . وبتقليل زمن التبريد لم ينجح التحضير لعدم التجانس في انتشار العناصر الثلاثة فينفصل مركب Cd Te الصلب بلون غامق عن Hg Te الهاش بلون فاتح . ثم تترك المنظومة لتبرد مدة ساعتين بعدها تستخرج الكبسولة ثم تغير في حامض الهيدروفلوريك (HF) للحصول على السبيكة ومن ثم يتم غسلها بالماء المقطر وبعدها تجف السبيكة .

Mechanical Pump للحصول على فراغ عالي بحيث يصل الضغط داخل الأنبوة إلى نحو (2*10⁻⁴ mbar) باستخدام مقاييس ضغط من النوع (Thermovac. TM 203) وبهذا نحصل على سبيكة بطور MCT فقط إذ أن الفراغ العالى يمنع تأكسد السبيكة داخل الأنبوة خلال عملية التحضير . لكن نقصان التفريغ للأنبوة يسبب الحصول على اطوار متعددة ومنها اطوار اکاسيد Hg,Te,Cd,TeO,CdO وهي مفرغة باستخدام مشعل يدوى من غاز الاستيلين (C₂H₂) والأوكسجين (O₂) أي شعلة الأوكسي أستيلين لقطعها ولحماها في آن واحد مع مراعاة عدم تسرب الهواء إلى الأنبوة في أثناء عملية القطع واللحام مع ملاحظة ثبوت مؤشر مقاييس الضغط وبذلك نحصل على كبسولة Ampoules مفرغة تحتوي على خليط من العناصر الثلاثة وجاهزة لتحضير سبيكة MCT . وبسبب زيادة المشاكل التي تتفق دون تحضير سبيكة MCT ومن أهمها ضغط بخار الزئبق العالى فوق المنصهر فضلا عن إلى اختلاف الكثافة ودرجة الانصهار والعدد الذري والضغط لكل عنصر من العناصر الثلاثة ، ومن جهة أخرى كما واضح من مخطط الطور في الشكل (1) لسبيكة MCT مبين وجود فضاء واسع بين خطى الجمود والسيولة فقد تم تحضير سبيكة MCT على مرحلتين لتجنب حالة انفجار الكبسولة والتلوث وكما يأتي :-

أ- توضع الكبسولة في فرن منظومة الإنماء البلاوري نوع (ADL) بسبب قدرتها على ضخ غاز ألا ركون بمقدار (7 Bar) تقريبا وهو يكافئ جزء من الضغط المتولد داخل الكبسولة ، فضلا عن ذلك فهي توفر لنا الحماية من خطر التلوث والانفجار في أثناء حوثه لأن المنظومة تحت تفريغ يصل تقريبا إلى (10⁻⁴ mbar) بحيث لها إمكانية الوقاية من التعرض المباشر لبخار العناصر عند الانفجار وهي مجهزة بمنظومة تفريغ مزودة بمساند لاقتصاص بخار الزئبق وبهذا تمنع استنشاق بخار MCT لانه سام وخانق . وان عملية الانفجار تم التغلب عليها باتباع زيادة تدريجية طبيعية لدرجة الحرارة .

ب - يتم وضع الكبسولة الناتجة في الفرن المهاز من أجل الحصول على سبيكة تامة التجانس . وقد جرى تحضير سبانك MCT على مرحلتين كما يأتي :-

1- فرن الإنماء البلاوري Crystal Growth Furnace

في هذا النوع من الأفران يتم وضع الكبسولة التي تحوي على مكونات سبيكة MCT بداخل بوочка مصنوعة من الكرافيت ، وبواسطة ملف التسخين

(Diffraction Type
Phillips X-Ray)

2- الفحص بمطياف الامتصاص الذري (AAS):-
لقد تم اجراء هذا الفحص للسبائك المحضره باستخدام جهاز :

[Atomic Absorption \ Flame Emission AA - 670 Spectrophotometry]
الذى يسمى بمطياف الامتصاص الذري اللهيب والمجهز من شركة (Shimadzu) ، فقد استخدم فحص (AAS) لمعرفة النسبة المئوية للعناصر المكونة لسبائك(MCT) ، بحيث يتم تحليل العناصر بوساطة هذا الجهاز . [9]

النتائج والمناقشة :

1- نتائج فحص حيود الأشعة السينية (XRD)

-:

أوضحت نتائج XRD لمساحيق السبائك المختلفة المحضره أنها تمتلك تركيباً متعدد البلورات Polycrystalline من النوع المكعب Zinc-Blende Cubic والمشابه لرकاز الزنك وذلك من خلال ظهور قم متعددة [كما هو واضح في الأشكال 2,3, 4 على التوالي] نتيجة تداخل البناء للأشعة السينية المنعكسة التي تتحقق حيود برانك . اذ اعتمدنا في تحليل النماذج على قانون برانك .

كما يتضح من الاشكال (1,2,3) عند قيمة 2 واحده تزداد شدة القمم مع زيادة نسبة التركيز (x) في السبائك . اذ نلاحظ في كل الأشكال الثلاثة السابقة ظهور قمة ذات شدة عالية وقياسية في طيف حيود الأشعة السينية التي تمثل الانعكاس عن المستوي (111) الذي يقطع المحاور البلورية الثلاثة (X,Y,Z) عند نقطة تبعد عن نقطة الاصل للمحاور بمقادير وحدة مسافة محورية واحدة في كل من الاتجاهات المحورية الثلاثة (X,Y,Z) . مما يدل على نجاح عملية التحضير لسبائك MCT بنسبة تركيز (x) مختلفة . وكذلك فقد أثبتت نتائج الفحص لحيود X-Ray ان كل السبائك المحضره ذات تجانس تمام لعناصرها بنمو طور MCT فقط .

2- نتائج فحص مطياف الامتصاص الذري AAS

يوضح الجدول (2) الاتي نتائج التحليل بالامتصاص الذري لسبائك MCT المحضره بالنسبة المختلفة ، اذ تظهر توافقاً للنسب المئوية للعناصر الثلاثة (Hg,Cd,Te) المكونة للسبائك Hg_{1-x}Cd_xTe بعد ان تم تحضيرها مع النسب المئوية المستخدمة اصلاً في تحضير السبائك . فقد أكدت نتائج هذا الفحص ان السبائك المحضره

2- الفرن الهزاز :-
يتطلب الحصول على سبائك MCT بتجانس تمام استخدام فرن هزار ، إذ توضع كبسولة MCT بعد إخراجها من فرن الإنماء البلوري مباشرة بداخل الفرن الهزاز . وبسبب عدم وجود هذا النوع من الأفران في القطر فقد تم تصميم قاعدة هزاره مع إجراء تجميع لبعض الأجزاء للحصول على تصميم مشابه لعمل الفرن الهزاز ، فهو عبارة عن فرن أنتوبي مزود بمسطرب حراري يتم بوساطته قياس درجة الحرارة اذ يعمل ضمن مدى حراري يتراوح بين 0-1200°C وبطول 38.5 cm وقطره الخارجي 20.5 cm وبقطر داخلي 4 cm . ويتصل الفرن الأنبوبي بمجهز قدرة من نوع HEWLETT PACKARD لكي تتم السيطرة على عدد الهرزات التي تحدث في الثانية الواحدة وكذلك يحوي على قاعدة هزاره المصنوعة من مادة Stainless Steel مثبتة على قاعدة خشبية مزودة بعتلات اذ تميل عن الأفق بزاوية مقدارها (±10°) للحصول على خلط لمنصره MCT بتجانس تمام . فعند استخدام الفرن الهزاز توضع كبسولة MCT في بودقة من مادة Stainless Steel التي تمثل حاجز وقاية بين الكبسولة والجدار الداخلي للفرن الأنبوبي من أجل المحافظة على الفرن من أضرار الانفجار المحتملة . بعدها يتم غلق فتحتي الفرن بطاوقي حراري ، ثم تبدأ عملية الهز قبل ان تبدأ بتسخين الفرن اذ يهتز الفرن بمعدل (30) مرة بالدقيقة الواحدة . ثم تبدأ بالزيادة التدريجية لدرجة الحرارة وبمعدل تسخين مقداره (20°C \ 30 min) حتى حين الوصول الى درجة حرارة 400°C فتبقى درجة الحرارة ثابتة لمدة ساعتين وعندها يبدأ تكون الطور السائل Hg Te ، بعد ذلك تصبح الزيادة تدريجية وبطئه جداً لدرجة الحرارة وبمعدل زيادة مقداره (10°C \ 30 min) لحين الوصول الى درجة حرارة 600°C عندها يبدأ تكون طور المركب Cd Te ويستغرق زمن البقاء عندها ساعتين .

القياسات التركيبية :-

ان الغرض من اجراء القياسات التركيبية على سبائك MCT هو لمعرفة نوع التركيب الخاص بها بعد أن تم تحضيرها بنسبة تركيز (X) مختلفة لمعرفة مدى تأثير زيادة نسبة التركيز (X) في البنية التركيبية لهذه السبائك .

1- الفحص بالأشعة السينية (XRD) :-

بعد تحضير السبيكة تم فحص المسحوق [8] بجهاز الأشعة السينية للأكاديمى من الحصول على السبيكة (MCT) (المطلوبة ، من خلال دراسة نمط حيود الأشعة السينية لها . فتم استخدام جهاز

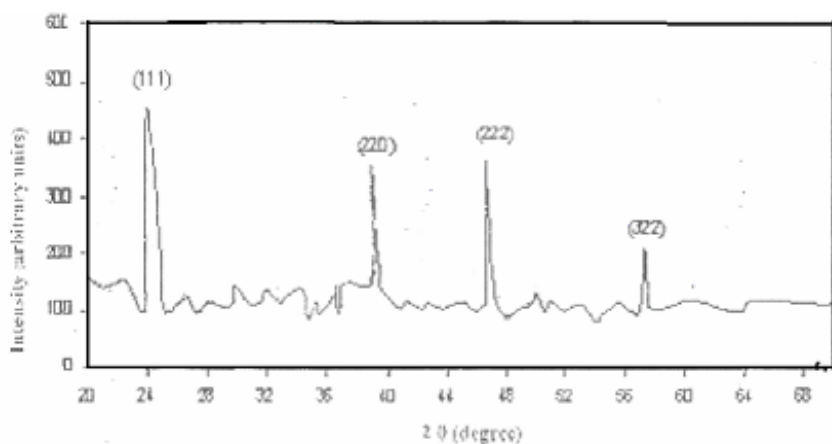
5- من اجل الحصول على سبيكة (MCT) المتجانسة بطور واحدة يجب استخدام فرن هزار ، لاعطاء فرصة كبيرة لتجانس عملية الخلط لمكونات السبيكة أي ضمن خلط لعناصرها الثلاثة Te, Cd في أثناء عملية الصهر بتجانس تام (باستخدام الفرن الهزاز) بحيث يعمل على صهر ومزج الخليط بحركته الاهتزازية .

جدول (1) يوضح المسافات البينية بين السطوح الذرية ومعاملات ميل التي ترافقتها لسبائك مختلفة $\text{Hg}_{1-x}\text{Cd}_x\text{Te}$ بنسب (x) مختلطة

Alloy	2 θ (degree)	d-Value (\AA) calculate	(hkl)
$\text{Hg}_{0.8}\text{Cd}_{0.2}\text{Te}$	34	3.7151	111
	39	2.3139	220
	46.6	1.9529	222
	57	1.6187	322
$\text{Hg}_{0.7}\text{Cd}_{0.3}\text{Te}$	24.4	3.6554	111
	39.8	2.2693	221
	47	1.9372	311
	57.4	1.6084	322
	63	1.4783	331
$\text{Hg}_{0.6}\text{Cd}_{0.4}\text{Te}$	23.8	3.7458	111
	39	2.3139	300
	46.8	1.9450	311
	57	1.6187	322
	62.8	1.4825	331

جدول (2) يوضح نتائج فحص (AAS) للنسب المئوية لعناصر السبيكة الثلاثية $\text{Hg}_{1-x}\text{Cd}_x\text{Te}$

Alloy	Theoretical Concentration Of elements %			Experimental Concentration Of elements %		
	Hg %	Cd %	Te %	Hg %	Cd %	Te %
$\text{Hg}_{0.8}\text{Cd}_{0.2}\text{Te}$	40	10	50	38.1	9.3	48.5
$\text{Hg}_{0.7}\text{Cd}_{0.3}\text{Te}$	35	15	50	33.3	14.2	48.7
$\text{Hg}_{0.6}\text{Cd}_{0.4}\text{Te}$	30	20	50	29	18.9	49.1



شكل 1: تمثل طيف وحيد الاشعة السينية لنموذج سبيكة $\text{Hg}_{1-x}\text{Cd}_x\text{Te}$ عند قيمة $x=0.2$

(MCT) ذات تجانس تام للعناصر الداخلة في تركيبها وهذا يدل على ان المادة المحضرة ذات تركيب تكافؤي تقريبا . Stoichiometry .

الاستنتاجات :-

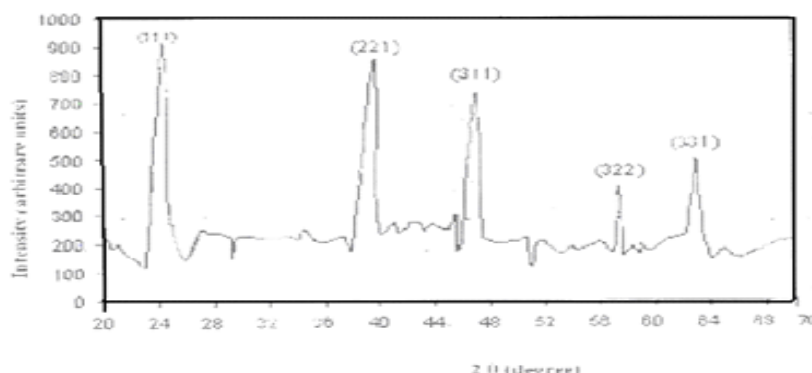
1- أظهرت فحوصات (XRD) لسبائك MCT المحضرة بنسب مختلفة زيادة ارتفاع (شدة) القمة بالاتجاه

[111] زيادة نسبة التركيز (X) عند زاوية حيد واحدة دلالة على نمو طور واحد فقط وهو طور (MCT) المطلوب .

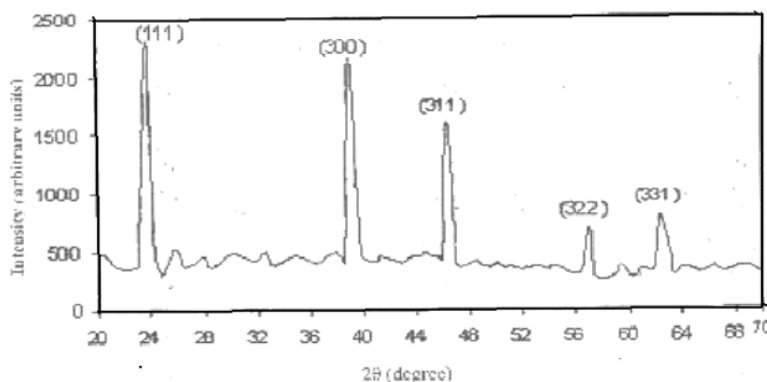
2- أثبتت فحوصات التحليل بمطياف الامتصاص الذري (AAS) حدوث التجانس التام في تركيب سبيكة MCT المحضرة ولجميع النسب السابقة بحيث ان النسبة المئوية للعناصر الناتجة من هذا الفحص كانت متقاربة تقريبا للنسب المئوية المستخدمة أصلا بالتحضير ومما يؤكّد حصول عملية الخلط لعناصر وبنموذج تام .

3- لكي يتم تحضير سبيكة MCT بنجاح يجب الانتباه الى ان رفع درجات الحرارة في أثناء عملية التسخين لخلط MCT بصورة تدريجية وبطئه وصولا لدرجة الانصهار لحسب نسبة التركيز (x) اذ ان زيادة نسبة (x) تسبب زيادة درجة الانصهار لسبائك المحضرة مما يؤدي الى زيادة تبلور المادة اي تحسين خواصها التركيبية وكذلك لمنع حدوث انفجار للكبسولة المحضرة بسبب زيادة ضغط بخار الرائب .

4- لاتمام نجاح تحضير سبيكة MCT يجب الانتباه الى ان الانخفاض بدرجات الحرارة في أثناء عملية التبريد لمنصهر MCT يكون بشكل تدريجي وبطئ ولمعدل الزيادة لدرجة الحرارة نفسه وصولا لدرجة حرارة الغرفة ، لمنع حدوث التشوهات والاجهادات الداخلية التي تتسبب بظهور اطوار اخرى غير طور MCT .



شكل 2: تمثل طيف وحيود الاشعة السينية لنموذج سبيكة $Hg_{1-x}Cd_xTe$ عند قيمة $x=0.3$



شكل 3: تمثل طيف وحيود الاشعة السينية لنموذج سبيكة $Hg_{1-x}Cd_xTe$ عند قيمة $x=0.4$

- of $Hg_{1-x}Cd_xTe$, Electronic Materials. 37 (9): 1166-1170
- 6.Sehmit, J.L.1983 .Growth Properties and Application of $HgCdTe$, J.Cryst. Growth. 65(3):249-261 .
- 7.Willardson, R.K .1981. Semiconductors and Semimetals, Mercury Cadmium Telluride, Academic Press,INC,pp 315.
- 8.Cullity,B.D.and Stock,S.R. 2001. Elements of X-Ray Diffraction. Prentic Hall,ed.2.,New Jersey, pp 664.
- 9.Dai, N. and Chang .Y. 2002. Photo-electronic phenomena in narrow gap $Hg_{1-x}Cd_xTe$, Current Applied Physics. 5 (2): 365-371.

المصادر:

- 1.Brosky, M. H. 1979. Topics in Applied Physic Amorphous Semiconductors. Springer_Verlag, ed. 3., New york ,pp 360.
- 2.Willardson, R. K. 1970. Semiconductors and Semimetals. Imfsored Detectors. Academic Press,US, pp 350.
- 3.Mikhailov,N.N.Smirnov ,R.N.and Dvoretsky .S. A. 2006. Groth of $Hg_{1-x}Cd_xTe$ Nanostructures by Molecular Beam with Ellipsometric Control, J. Nanotechnology. 3(1):120-130.
- 4.Joachim,P. 2003. Semiconductor Optoelectronic Devices.Academic Press, US, pp 279 .
- 5.Benson, J.D. and Martinka, M. 2008. Modeling of the structural properties

Study the structure of $Hg_{1-x}Cd_xTe$ alloy

Ziad T. AL-Dahan*

Alaa N. Abdalgaffar**

Ruda H. Abbas*

*Laser and Optoelectronic Dept., Nahraian University.

** College of science for women, Baghdad University.

Abstract:

A study carried out to prepare $Hg_{1-x}Cd_xTe$ compound and to see the effect on increasing the percentage of x on the compound structure by using x-ray diffraction and atomic absorption for $0 < x < 1$ and noticing all environment preparation by using moveable furnace.